АСТРОФИЗИКА

TOM 35

ОКТЯБРЬ—ДЕКАБРЬ, 1991

выпуск 2, 3

УДК: 524 3 -355

СПЕКТРАЛЬНОЕ ИССЛЕДОВАНИЕ ГОЛУБЫХ ЗВЕЗДНЫХ ОБЪЕКТОВ FBS. I

г. в. абрамян, а. м. микаелян

Поступила 16 июля 1991 Принята к нечати 12 октября 1991

Приводятся результаты спектрольных наблюдений 54 голубых эпесаных объектов на первых друк спискез (полоса ±37° < 6 < ±41°) второй части Первого Бюра-квиского спектрального обвера (FBS). Изложены отобечаюти целовых спектров, полученных на телескопе ЗТА—2.6 м. Есе объекты классифизицесть ы согласно общепринялим критериям. Из 54 объектов 11 схазались белыми каранизми. 40—горячим субларанизми и 3—звездами класса В горязоттальной ветви. Преводятся регистрограммы спектров типичных представителей различных классов. Дано опясание спектров всех 54 объектов.

1. Введение В работах [1-4] на пластинках FBS (First Byurakan Survey) обнаружено 429 голубых звездных объектов, из которых 278 являются новыми. Кроме того, около десятка ранее известных объектов не наблюдались спектральным методом. Настоящей работой начато спектральное исследсвание этих сбъектов с целью их классификации и детального исследования наиболее интересных из них. Спектральные наблюдения объектов FBS на телескопе ЗТА-2.6 м Бюраканской астрофизической обсерватории начаты в августе 1987 г., сразу же после окончания просмотра первой полосы обэора с + 37° ≪ 8 ≤ + 41°. Кассегреновский фокус ЗТА-2.6 м со спектрографом UAGS с ЭОП идеально подходит для исследования объектов FBS, так как предельная звездная величина, доступная для получения спектров, соответствует пределу пластинок FBS, а именно-17.5. Это позволяет получать спектры всех нами выделенных объектов FBS (за редкими исключениями), причем не влоупотребляя телескопным временем для наблюдения заведомо ярких объектов (подавляющее большинство объектов. FBS имеет эвездную величину в пределах $14^{n}-17^{m}$, мало объектов с $m=13^{m}$ и почти нет объектов с $m<13^{m}$).

Напомним, что работой [5] начата программа поляриметрических исследований объектов FBS, также на телескопе ЗТА-2.6 м. Этими двумя методами исследований авторы надеются создать наиболее полное представление о выборке FBS, а также выявить среди новых объектов FBS новые яркие квазары, белые карлики, другие интересные галактические и внегалактические объекты.

2. Наблюдения и обработка данных. Наблюдения проводились в аврусте-декабре 1987 т. в кассегреновском фокусе телескопа ЗТА-2.6 м БАО [6] с помощью спектротрафа UAGS с тремкаскадным ЭОП УМК-91В [7]. Использовалась решетка с дисперсией 101 А/мм под утлом 33° для получения синей части спектра. Наблюдался спектральный диашазон в предслах 3200—6100 А. Слектры снимались на фотопленке Eastman Kodak, II-аО и 103а-О. Спектральное разрешение—3—4 А.

Во время наших наблюдений изображения звезд были в пределах 1-3 секунды дуги, предельная звездная величина колебалась в пределах 16^m-17^n 5. Экспозиции для предельных объектов колеблются в пределах 1^h-1^h 5. Все объекты наблюдались в пределах зенитного расстояныя $z<20^\circ$ (благодаря удобному $\delta=+39^\circ$) и в коррекции не нуждаются, так как она очень мала.

Обработка спектров производилась на измерительно-вычислительном комплексе PDS-CM-4 Бюраканской обсерватории в 1988-90 гг. На микроленситометре PDS измерялась плотность почернения вмульсии с окном 20 × 50 µ и шагом 15 µ. В зависимости от даины спектра измерялось от 1300 до 1800 каналов. Спектральная ширина одного канала (дисперсия) равна 1.5 А. На ЭВМ СМ-4 с помощью системы обработки астрономических спектров АДА [8] проводилась редукция, включая перевод каналов микроденситометра в длины волн, переход из плотности в интенсивности, коррекция с помощью стандартной звезды и вычитание фона неба. В качестве стандарта служили звезды Feige 25 (12^m5) PD + 28°4311 (9^m7), Feige 34 (10^m4). Точность перехода в ангетремы—не хуже 0.5 A. Соотношение S/N (сигнал/шум)—около 10:1 для хороших спектров и около 4:1-для плохих. Ошибки определения FWHM (полной ширины линий на уровне половины интенсивности) и FWOI (полной ширины линий на уровне нулевой интенсивности, т. е. на уровне непрерывного спектра) достигают 30%, что обусловле о невозможностью (в большинстве случаев) точного проведения непрерывного спектра.

В табл. 1 приводится список наблюденных объектов и результаты их классификации. В последующих ее столбцах приведены: 1—названия объектов FBS согласно рекомендации подкомиссии № 28 MAC; 2—видимая звездная величина объектов, определенная с пластинок FBS; 3—дата наблюдения; 4—выдержка в мипутах; 5—исследованный спектральный диапазон для каждого объекта; 6—обзорный тип объектов согласно работам [1, 2]; 7—спектральный класс. В случае, если спектральный класс объекта определен неуверенно, ставится знак «:».

3. Классификация объектов. Все 54 объекта классифицированы согавсно общепринятым критериям. Для белых карликов в основу положена классификация Сайона и др. [9], для горячих субкарликов взяты принципы классификации Грина и др. [10]. Дисперсия наших спектров, спектральное разрешение и жачество спектров (отношение сигнал/шум я др.) близки к соответствующим характеристикам спектров обхора Паломара-Грина, но вследствие инструментальных и атмосферных эффектов есть некоторые различия. В частности, линии нейтрального гелия не всегда присутствуют в том порядке, как в спектрах Грина. Линин да 4026 и 4922 появляются очень часто, даже при слабых а 4471 и λ 4388, тогда как в паломарских спектрах они являются второстепенными для классификации. Например, эти линии корощо наблюдаются в спектрах субкаранков sdOA, sdOB и sdOD (а акния à 4922-даже в спектре sdB-O), причем в случае sdOD à 4922 даже превосходит λ 4388. В некоторых случаях наблюдаются лиции He I λλ 4471, 4026 и 4922 без линии д 4388. Линия д 4388, по-видимому, еследствие какото-то инструментального эффекта сильно ослаблена. Например, в спектрах sdOB она вообще отсутствует.

В бальмеровской серии водорода в наших спектрах, как правило, наблюдается больше линий (иногда до H_{15} — H_{10}), чем в паломарских спектрах. В среднем же вта серия наблюдается до члемов H_{12} — H_{10} .

Для разделения звезд НВВ, субкарликов и белых карликов основным критерием служил FWOI. Для звезд горизонтальной ветси $FWOI \approx 20-30$ А (важной особенностью в этсм случае является режий бельмеровский скачок), для субкарликов $FWOI \sim 20 \div 45$ А, а для белых карликов $FWOI \gg 50$ А для линий водорода и $FWOI \gg 30$ А для линий гелия и металлов. Что касается единственного объекта, не похазывающего никаких спектральных линий на уровне более 10% от уровня шума, то спектральное распределение, по-видимому, позволяет классифицировать ее как DC, хотя, например, в работе [11] такой объект обозначен как «континуальный», учитывая возможность внегалактической природы этих объектов.

Следует отметить, что на краях спектрального диапазона ($\lambda < 3.00$ A и $\lambda > 5400$ A) редукция не всегда проводилась хорошо, вследствие 3—52

Таблица 1 СПЕКТРАЛЬНЫЕ НАБЛЮДЕНИЯ ОБЪЕКТОВ FBS

O6pert FBS	m _v	Дата наблюдения	Выдерж- исследованный спектральный деапозон (А)		Обворный тип соглас- во [1, 2]	Спектраль-			
1	2	3	4	5	6	7			
0034+376	13.5	3.09.87	20	33505550	B1	sdB			
0046+395	14.5	3.09.87	20	33505550	B1-	sdOA:			
0117+396	15.5	15.09.87	57	33506055	B1	sdB-O			
0125+386	15	2.09.87	60	3350 - 5550	B2	sdO			
		26.11.87	60						
	100	16.12.87	20						
0132 + 370	13.5	2.09.87	15	3350-5550	B1	sdOC			
0140-1 360	16.5	15.09.87	60	3355-6055	В3	sdOA			
0203+390	15.5	2.09.87	50	3350-5550	B1	sd			
		26.11.87	50			-			
		16.12.87	40			-			
0203+401	14.5	15.09.87	20	33506055	B3	НВВ			
0212+385	14.5	15.09.87	15	3350-6055	Bla:	DC			
0255+379	14.5	15.09.87	20	3350-6055	В3	sdOA			
1652+393	17	15.09.87	60	3355—6055	N1e:	sd:			
1730+390	15.5	15.09.87	30	3355-6055	B2	HBB			
		17.07.88	90						
1731+383	15.5	21.03.87	60	3600-5600	B3a	DA			
1735+382	15.5	23.03.87	60	3450-5550	B2a:	sdOA			
1738+372	14.5	21.08.87	60	35005600	B2v:	sdB:			
1749-1373	13	2.09.87	10	3350 - 5550	B1	sdOB			
1750+383	13.5	2.09.87	15	3350-5550	B1	sd			
1755+374	12	2.09.87	10	3350—5550	B1	нвв			
1756+394	16	20.08.87	40	3600—5550	N1e:	sdB-O			
1800+388	17	23.08.87	60	3450—5550	B2	sdB			
1801+384	15.5	22.08.87	30	3550-5550	N2a:	sd			
181C- -389	14.5	20.08.87	15	3500-5600	B1	sdB			
1814+381	15.5	15.09.87	20	3355—6055	Bla	DZ			
1822+410	15.5	21.08.87	20	33505550	B1	DB			
2151+406	14	3.09.87	15	3355-5555	N2	sdB			
2152+408	13.5	2.09.87	10	33505550	N1	sdB			
2155+374	15	20.08.87	20	3350—5650	B2	sdB			
2158+373	12.5	20.08.87	1	3450 5550	B1	sdB			

Таблица 1 (окончание)

1	2	3	4	5	6	7
		20.08.87	2	10 2 3 2 7		
		20.03.87	4			1
		20.08.87	8			130-
2159+372	13.5	3.09.87	10	3350—5550	B2	DZ
2204-1-386	13	3.09.87	10	3350—5550	Bla:	sdB
2207 + 392	15	20.03.87	30	3450 -5550	Bla:	sdOA
2222+394	15	20.08.87	30	3490-5350	B1	DAZ
2227- -383	13.5	21.08.87	20	3450-5550	B1	sdB
2227+379	15.5	21.08.87	10	3550-5550	B2a	sdB—O
2227+393	14	21.03.87	20	3150-5570	B1	DBA
2237+397	15.5	23.03.87	25	3450-5550	B2	sdOB
2243 + 392	15	23.08.87	20	3450—5550	B1	AOha
2244+401	14	22.08.87	30	35505550	R1	sdOD
2245+375	15.5	23.08.87	30	3450—5559	B2	sdB
2246+382	14	22.08.87	20	3550-5550	B1	sdOA
2254+382	15	22.08.87	25	3550-5550	B1	sdB
2254+373	17	23.08 87	50	3450—5550	B2a	sdOD:
2755+385	15.5	22.03.87	35	3550- 5 550	B1	sdOC:
2255+404	16.5	23.08.87	4:)	34505550	B2	sdOD
2259+384	13	3.09.87	15	3350-5550	B2	sdB-O
2300 + 374	16.5	21.03.87	50	3450 - 5550	BI	sdB:
2310+404	15.5	2.09.87	30	3350 -5550	B2a:	sdB
2319+388	17	3.00.37	70	3350 - 5550	B2	sdB—O
2324+397	15.5	23.03.87	25	3450—5550	Bl	sd
2329+407	13	3.09.87	15	3330—5550	B1a	DA
2333+395	14.5	21.08.87	20	3450-5550	B1	DAZ:
2341-401	14.5	22.08.87	18	3550—5550	B1	DA:
2345+407	15	22.08.87	20	3550—5550	B1	DA
2347+385	11	21.08.87	0.5	3400-5600	B1	sdB
	14	21.08.87	1			
		21.08.87	3			

чего эти участки спектров для классификации почти не учитывались. В основном учитывался диапазон $\lambda\lambda$ 3800—5200 А. Уверенность классификации отдельных объектов колеблется также в зависимости от отношения S/N для данного спектра. Это отношение для лучших спектров доходит до 10:1, для худших—до 2:1. В случае плохого S/N субкарлики в соответствии с Грином и др. [10] обозначались sdO (бев под-

класса) при налични линий телия и sd—при наличии лишь двух-трех линий Н. В случае неуверенности классификации для спектров, не совсем укладывающихся в стандартные классы, или же требующих дальнейшего уточнения из-за плохого S/N, после спектрального класса ставится знак «:» (всего 8 объектов).

На рис. 1—3 приведены регистрограммы спектров типичных представителей основных классов табл. 1. Относительная интенсивноть дана

в произвольных единицах, длина волны-в ангетремах.

4. Описание спектров набаюденных объектов FBS. Учитывая то обстоятельство, что на рис. 1—3 приведены регистрограммы спектров лишь некоторых объектов, ниже дается краткое описание спектров всех 54 наблюденных объектов. Для краткости и удобства символы FBS при названиях объектов опущены.

0034+376 sdB — В спектре наблюдаются умеренной ширины (FWO1 ~ 30 A) линии поглощения бальмеровской серии H_B-H_C .

 $0046+395~{
m sdOA}$: — Наблюдаются умеренной ширины (FWOI \leqslant 40 A, глубокие сильные линии $H_{\flat}-H_{\imath}$ и слабые линии He I $\lambda\lambda$ 4144, 4471, 4388, 4713, 4026 (в порядке ослабления), возможно—He II $\lambda\lambda$ 4686 и 4542.

0117+396 sdB—О—Наблюдаются умеренной ширины (FWOI~30 A) глубокие сильные линии H₂ —H₁₁ и очень слабые линии He I $\lambda\lambda$ 4471 и 4388.

0125+386 sdO — Слабая линия Не II λ 4686 и, возможно, линия Не I λ 4471.

0132+370 sdOC — Сильная линия H_{β} (вместе с He II Бракета, FWOI ~ 25 A) и сильная линия He II λ 4686 (FWOI ~ 30 A). Линии достаточно широки, и детальное изучение может привести к переклассификации в DO или DAO.

0140+360 sdOA — Линии малой ширины H_3 — H_{10} (FWOI ~ 15 A) и линии He I $\lambda\lambda$ 4471, 4922, 4026.

0208+390 sd — Линии умеренной ширины ($FWOI \sim 30$ A) H_3 — H_6 . Из-за плохого S/N другие линии неразличимы.

0208+401 НВВ — Линии малой ширины ($FWOI \lesssim 20$ А) $H_{\rm g} - H_{\rm 18}$. Скачок довольно резкий. Бальмеровские линии очень глубокие. Типичная звезда НВВ.

0212+385 DC —Не различаются линии, котя бы на 10% на уровне непрерывного спектра. Распределение относительной интенсивности указывает на горячую ввезду.

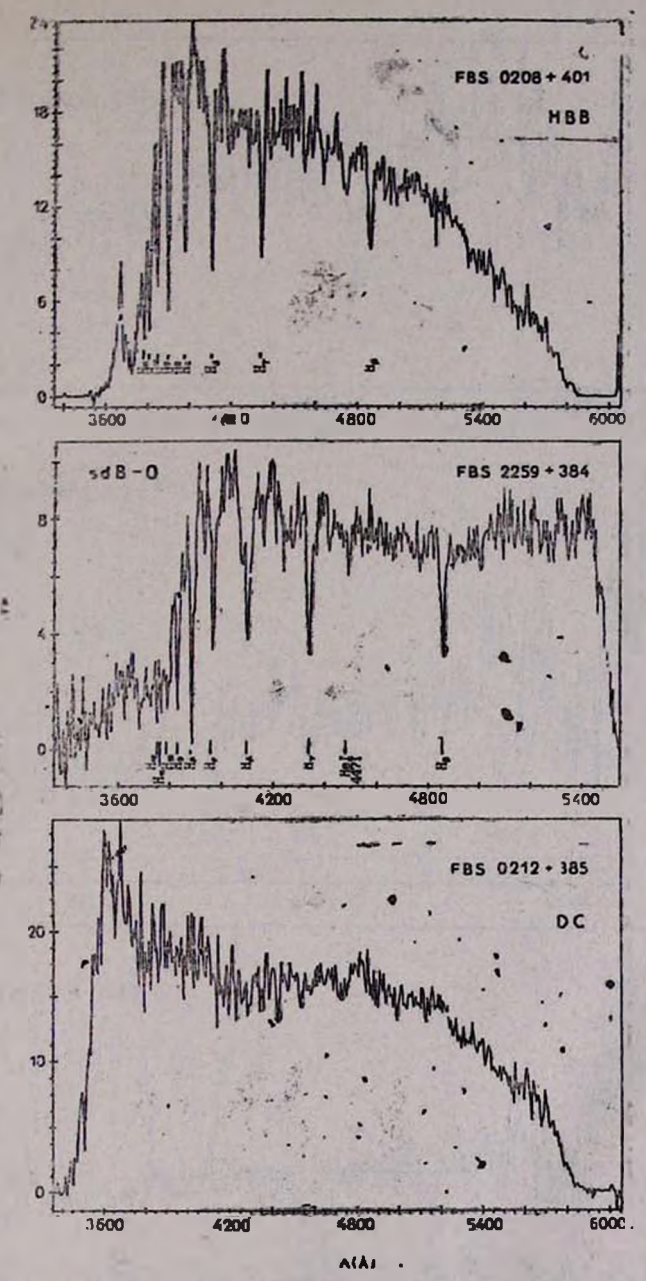
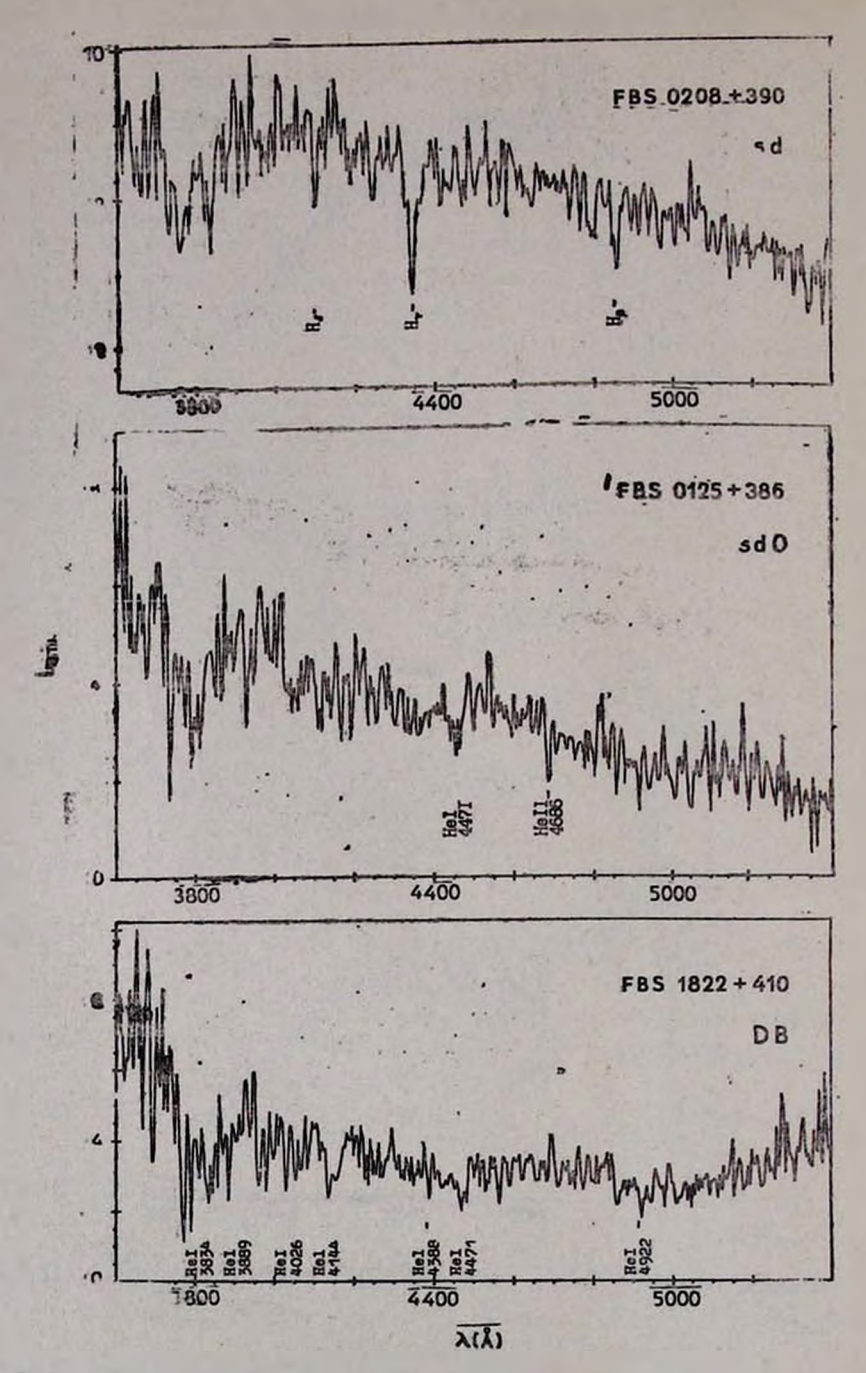
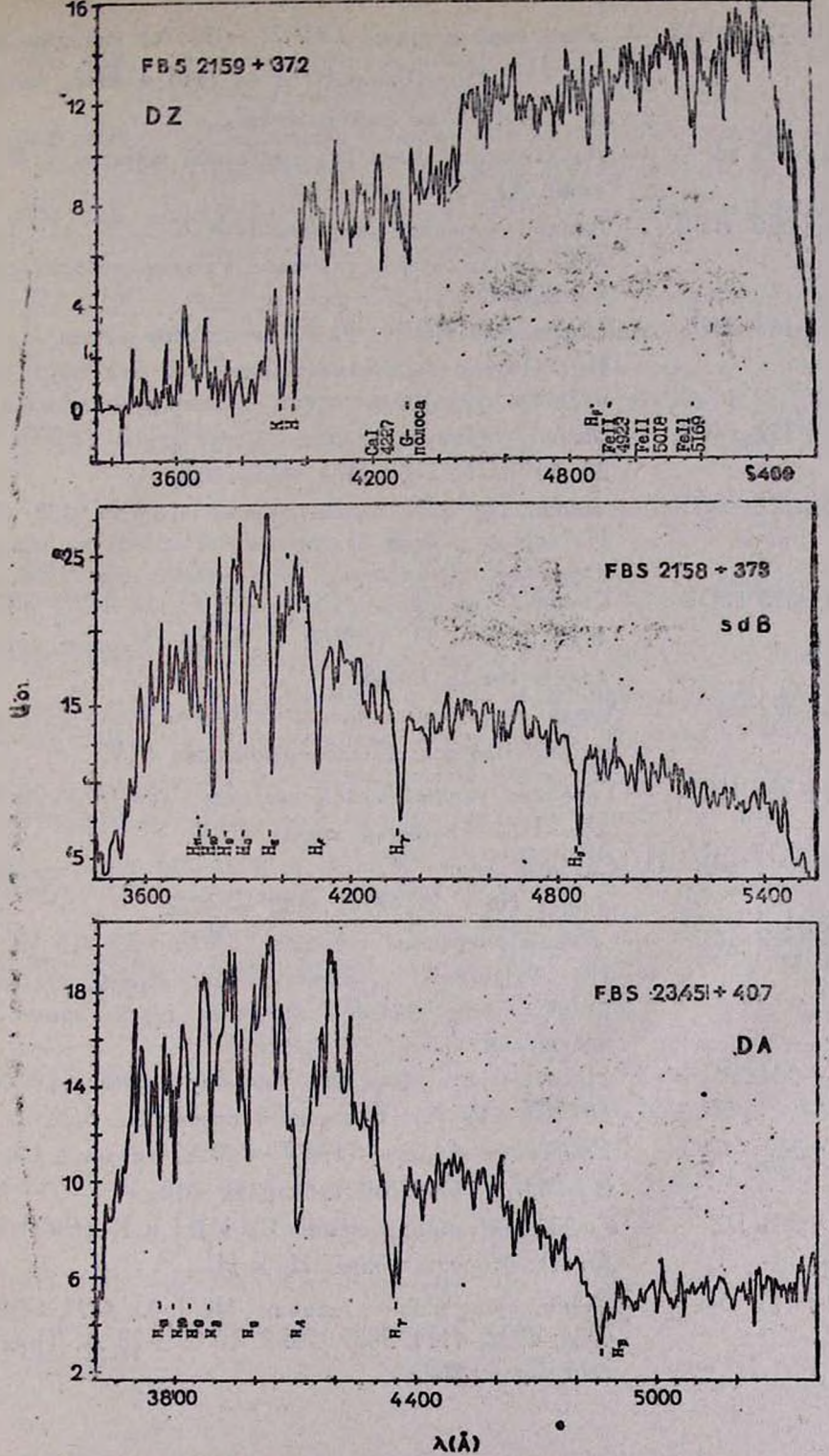


Рис. 1. Снектры типичной звезды НВВ субкарлика и белого карлика, полученные на ЗТА —2.6.



:Рис. 2. Съектры типичных субкаранков и белого каранка, полученные на ЭТА-26.



Рыс. 3. Стектры типичных белых карлеков и субкарлика, полученные на ЗТА-2.6.

— Линии умеренной ширины (FWOI \sim 25 A) H₈ — H₁₁. Типичный субкарлик sdB. Кроме сильных бальмеровских линий поглощения другие линии не

(FWOI \leq 35 A). Hexopomee отношение S/N.

-- Умеренной ширины (FWOI~40 A) сильные лимии 1810+389 sdB ₩_в — H₁₁. Типичный субкарлик sdB.

1814+381 DZ -- Умеренной ширины линии Са II Н и К (FWOI~ 30 А). Хорошо видны На и На.

1822+410 DB — Линии умеренной ширины Не I да 4471, 4388, 4026, 4922, 4144, 3889, 3834. FWOI~20 A. Типечный каранк DB.

- 2151+406 sdB Умеренной ширины (FWOI~30 A) сильные линии H₃—H₂. Типичный субкарлик sdB.
- 2152+408 sdB Умеренной ширины ($FWOI\sim$ 30 Å) сильные линии H_3 — H_{12} . Типичный субкарлик sdB.
- 2155+374 sdB Умеренной ширины (FWOI ≤ 30 A) сильные лини H_3 H_{14} . Типичный субкарлик sdB.
- 2158+373 sdB Умеренной ширины (FWOI \leq 45 A) сильные линии H_1-H_{14} . Типичный субкарлик sdB.
- 2159+372 DZ Холодный белый карлик. Наблюдаются сильныелинии Са II Н и К (FWOI ~ 45 A), Н₃, Са I λ 4227, Fe II λλ 5018, 5169, 4923, G-полоса. Типичный карлик DZ.
- 2207+392 sdOA Умеренной пунрины линии H₃ —H₁₁, линии He I λλ 4471, 4922, 5015, 4026.
- 2222+394 DAZ Широкие сильные лимин Н₅ —Н₉ (FWO1~50 A)... Наблюдается Са II Н и, возможно, Са II К.
- 2227+383 sdB Наблюдаются линии малой ширины (FWOI \sim 20 A) бальмеровской серии $H_3 H_1$.
- 2227+379 sdB—О—Умеренной ширины сильные линии H_{β} — H_{16} (!) \sim FWOI \ll 30 A. Слебые линии He I $\lambda\lambda$ 4471 \approx 4922.
- 2227+393 DBA Умеренной ширины (FWOI ~ 20 A) линии Не I λλ 4471, 4388, 4026, 4922, ℍ₃. Н, очень слабая.
- 2237+397 sdOB Преобладают линии Не I λλ 4471, 4922, 4026, Не II λ 4686. Χοροшо наблюдаются H₃ и H₇, H₈. Типичный субкарлик sdOB.
- 2243-1392 sdOA Умеренной ширины сильные линии H₅ H₁₁.
 (FWOI ≤ 30 A). Линии He I λλ 4471, 4388, 4922,
 4026. Типичный субкарлик sdOA.
- 2244+401 sdOD Преобладают линии Не I λλ 4471, 4922. (FWOI ~ 10 A. Наблюдаются Н₆ и Н₆.
- 2245+375 sdB Наблюдаются линии Н_р -- Н₁₃ F W O I ≤ 30 A.

 Типичный субкарлик sdB.
- 2246+382 sdOA Умеренной ширины сильные линии H₈ H₈..

FWOI~30 A. Сильная линия Не I λ 4471. Елезаметны Не I $\lambda\lambda$ 4388, 4026, 4922.

.2254+382 sdB — Умеренной ширины (FWOI≲30 A) сильные аннии Н₄ —Н₁₆ (1). Типичный субкаранк sdB.

2254+373 sdOD: — Линин Не I λλ 4471, 4922, 5015, 4388 (?). Линин бальмеровской серии не наблюдаются. Пло-хое S/N.

2255+386 sdOC: — Наблюдаются линии Не II λ 4686 и Н_в — На вместе с соответствующими линиими Не II Брвкета. Плохое отношение S/N.

2255+404 sdOD — Преобладают линии Не I $\lambda\lambda$ 4471, 4922, 4143, 5015. Сильны также H_3 и H_4 , Не II λ 4542 (?). Типичный субкарлик sdOD.

2259+384 sdB—О—Умеренной ширины ($FWOI \sim 40$ A) сильные лиции H_3 — H_{12} . Слабая линия He I λ 4471. Типичный субкарлик sdB—O.

2300+374 sdB: — Основные линии— H_3 — H_{δ} /(FWOI ~ 40 A). Другие линии трудно выделять из-за плохого отношения S/N. Есть подозрение на наличие линий He I.

2310+404 sdB — Умеренной ширины ($FWOI \sim 40$ A) сильные линии H_s — H_9 . Типичный субкарлик sdB.

.2319+388 sdB—О—Сильные линии $H_3 - H_8$, He I λ 4471. Плохос отношение S/N.

2324+397 sd — Умеренной ширины слабые линии $H_3 - H_2$. Плохое отношение S/N.

.2329+407 DA — Очень широкие и сильные линии Н₅— Н₆. (FWO! > 150 A). FWHM ~ 50 A. Типичный белый карлик класса DA. Был отмечен как DA уже во время просмотра призменных спектров.

.2333+395 DAZ: — Сильные линии H_3 , H_1 , H_2 и K Ca II. (FWOI ~ 25 A. Наблюдаются также H_3 — H_9 . Линии бальмеровской серии не очень широки, что стаєит под сомнение классификацию этого объекта.

.2341+401 DA: — Наблюдаются сильные линии H_6 — H_{12} . Ширина линий ($FWOI \leq 50$ A) оставляет сомнение в данной классификации.

.2345+407 DA — Очень широкие и сильные линии H₃—H₄. FWOI: 100—300 A. FWHM≥50 A. Наблюдают. я также менее широкие линии H₄—H₁₂. Типичный белый карлик класса DA.

2347+385 sdB — Умеренной ширны (FWOI \ll 40 A) сильные линии H_a — H_9 . Типичный субкарлик sdB.

5. Заключение. Из первых двух списков голубых звездных объектов FBS получены шелевые спектры 54 объектов. Из них 11 оказались белыми карликами, 40—горячими субкарликами и 3—звездами НВВ. В табл. 2 приведено распределение изученных объектов по спектральным классам. Дальнейшее изучение этих объектов может уточнить классы или подклассы некоторых из них, в частности объектов с неуверенной классификацией (8 объектов).

Таблица 2 РАСПРЕДЕЛЕНИЕ ИЗУЧЕННЫХ ОБЪЕКТОВ ПО СПЕКТРАЛЬНЫМ КЛАССАМ

Спектраль-	нвв	sdB	sd	≉dB−O	зdО и	DA	DB n DBA	DZ π DAZ	DC
Комичество объектов	3	15	5	5	15	4	2	4	1

Можно отметить, что пока не оправдалось ожидание, что среди объектов FBS обнаружится больше белых карликов (в процентном соотношении), чем среди объектов обзора Паломара-Грина. Ввиду недостаточности и предварительности материала не следует делать окончательных выводов. То же касается и обнаружения квазаров и сейфертовских галактик среди объектов FBS, которых в обзоре PG около 7%. В целом изучение 54 объектов пока не может дать представление о выборке FBS, так как самые слабые объекты FBS еще не наблюдались.

Авторы признательны сотрудникам лаборатории электроники Бюраканской обсерватории за оказанную помощь при обработке спектров.

Бюракансь ая астрофизическая обсерватория

SPECTRAL INVESTIGATION OF THE FBS BLUE STELLAR OBJECTS. I

H. V. ABRAHAMIAN, A. M. MICKAELIAN

The results of spectral observations of 54 blue stellar objects from the first two lists (zone $\delta = +39^{\circ}$) of the second part of the First Byurakan spectral survey (FBS) are presented. The characteristics of

the slit spectra obtained on the ZTA-2.6 m telescope are stated. The objects are classified according to the generally used criteria. 11 of 54 objects turned out to be white dwarfs, 40—hot subdwarfs and 3—horizontal branch B stars. The records of spectra of the typical representatives of various classes are presented. A description of the spectra of all 54 objects is given.

ЛИТЕРАТУРА

- 1.Г. В. Абрамян, В. А. Липовецкий, Д.ж. А. Степанян, Астрофизика, 32, 29, 1990. 2. Г. В. Абрамян, В. И. Липовецкий, А. М. Миклелян, Дж. А. Степанян, Астро-
- физика, 33, 345, 1990.
- 3. Г. В. Абрамян. В. А. Липовсукий, А. М. Микаслян, Дж. А. Свепанян, Астрофиянка, 39, 245, 1990.
- 4. Г. В. Абрамян, В. А. Липовецкий, А. М. Михаелян, Дж. А. Степанян, Астрофизика, 34, 1991.
- 5. А. М. Микаелян, М. А. Ерицян, Г. В. Абрамян, Астрофизика, (в печаты).
- 6. Г. В. Аврамяч, Cooling. Бюракста. обсерв., 61, 133, 1989.
- 7. Г. И Брюхневич и др., Астрофизика, 21, 378, 1984.
- 8. С. В. Зарацян, Т. Ю. Магакян, Сообщ. Бюракан. обсерв., 57, 80, 1985.
- 9. E. M. Ston, J. L. Greenstein, J. Landstreet, J. Liebert, H. L. Shipman, G. Wegner, Astrophys J., 269, 253, 1983.
- 10. R. F. Green. J. Liebert, M. Schmidt, Astrophys. J. Suppl. Ser., 61, 305, 1986.
- 11. Дж. А. Степанян, В. А. Липовецкий, А. И. Шаповалова, Л. К. Ерастова, Астрофизика. 33, 89, 1990.